

多核NMR①: 測定しやすい核としにくい核

多核NMR:

有機分析化学第8回(2020/5/12)

(核の種類による)検出感度(同じ濃度の時)

$$S = I(I+1)\nu_0^3 N$$

I : 核スピン

ν_0 : 共鳴周波数

N: 核スピン濃度

線幅因子 (line width factor)

$$LW = \frac{(2I+3)Q^2}{I^2(2I-1)} \quad I: \text{核スピン} \quad Q: \text{核四極子モーメント}$$

相対感度(^{13}C 核を基準)

$$R' = \left[\frac{I(I+1)}{\frac{1}{2}(\frac{1}{2}+1)} \right] \times \left[\frac{\nu_0}{\nu_{^{13}\text{C}}} \right]^3$$

総合相対感度

(天然存在比も考慮して ^{13}C 核を基準)

$$R' = \left[\frac{I(I+1)}{\frac{1}{2}(\frac{1}{2}+1)} \right] \times \left[\frac{\nu_0}{\nu_{^{13}\text{C}}} \right]^3 \times \left[\frac{\alpha_0}{\alpha_{^{13}\text{C}}} \right]$$

よく利用される $I=1/2$ の核

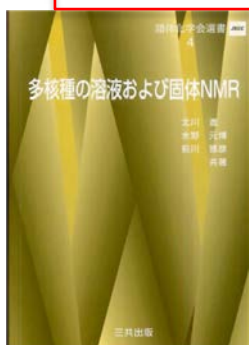
^{15}N (0.37%), ^{19}F (100%), ^{29}Si (4.7%), ^{31}P (100%)
 ^{77}Se (7.58%), ^{111}Cd (12.75%), ^{119}Sn (8.58%)
 ^{125}Te (6.99%), ^{195}Pt (33.8%), ^{207}Pb (22.6%)

よく利用される $I=1/2$ 以外の核

^2H ($I=1$, 0.015%), ^7Li ($I=3/2$, 92.6%)
 ^{11}B ($I=3/2$, 81.2%), ^{14}N ($I=1$, 99.6%)
 ^{17}O ($I=5/2$, 0.037%)

他の核とのカップリングがよく利用される核

^{103}Rh ($I=-1/2$, 100%)
 ^{107}Ag ($I=-1/2$, 51.82%), ^{109}Ag ($I=-1/2$, 48.18%)



三共出版「多核種の溶液および固体NMR」
北川 進, 水野 元博, 前川 雅彦 著、竹内敬人・西川 実希 訳
ISBN: 9784782705681

核スピンや感度、それぞれの核の基準物質などのデータが多数掲載

多核NMR②: それぞれの核の共鳴周波数と化学シフト

共鳴周波数は核ごとに決まっている

電磁波のエネルギー $\Delta E = h\nu$ とすると

$$\nu = \frac{\gamma \cdot B_0}{2\pi}$$



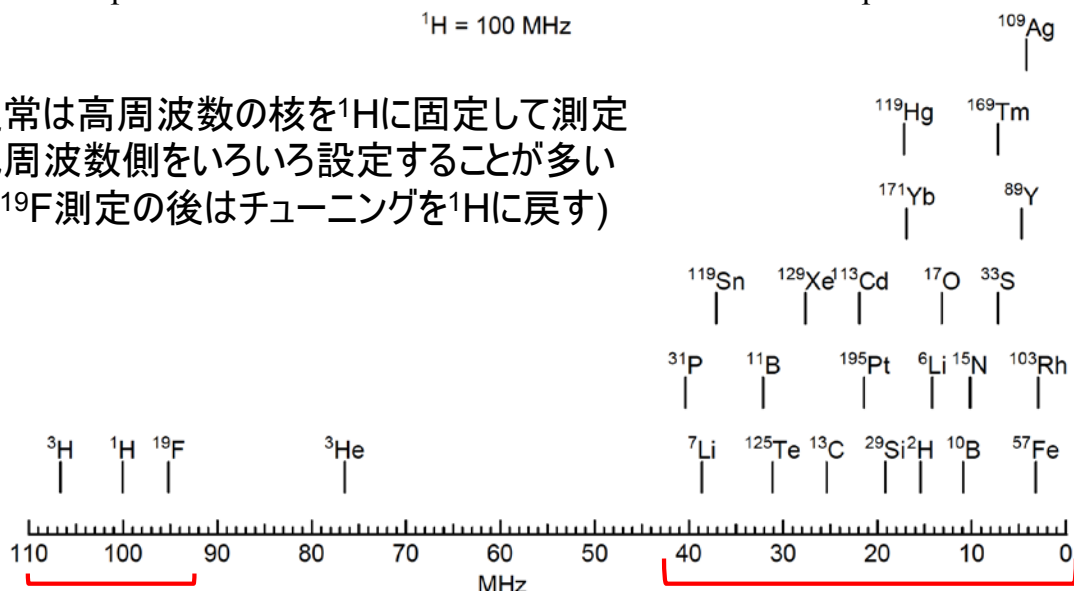
測定前に行うオートチューニングは
この共鳴周波数を調整する作業

それぞれの核における共鳴周波数(^1H を100 MHzとしたとき)

<http://www.chem.wisc.edu/areas/reich/nmr/notes-7-multi.pdf>

$^1\text{H} = 100 \text{ MHz}$

通常は高周波数の核を ^1H に固定して測定
低周波数側をいろいろ設定することが多い
(= ^{19}F 測定の後はチューニングを ^1H に戻す)



共鳴周波数の高い核
= high frequency核

共鳴周波数の低い核
= low frequency核

化学シフト幅は核ごとに異なる

$^1\text{H} \sim 15 \text{ ppm}$

$^{13}\text{C} \sim 200 \text{ ppm}$

$^{11}\text{B} \sim 210 \text{ ppm}$

$^{31}\text{P} \sim 450 \text{ ppm}$

$^{77}\text{Se} \sim 3000 \text{ ppm}$

$^{195}\text{Pt} \sim 6700 \text{ ppm}$

$^{59}\text{Co} \sim 18000 \text{ ppm}$

化学シフト範囲の広い核は
測定幅を変えながら
シグナルを見つける必要がある
(折り返しに注意すること)

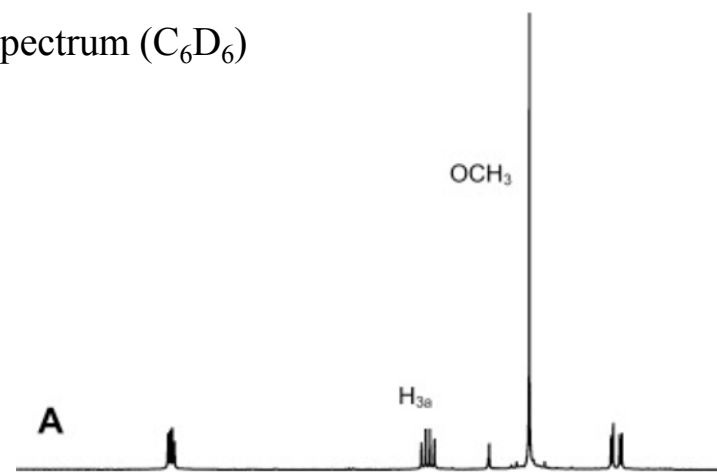
多核NMR各論: ^2H NMRスペクトル

^2H , 核スピン $I = 1$, 天然存在比0.015%, 磁気回転比 $\gamma = 4.1066$
 四極子モーメント $= 2.8 \times 10^{-3}$, 相対総合感度 $= 1.45 \times 10^{-6}$

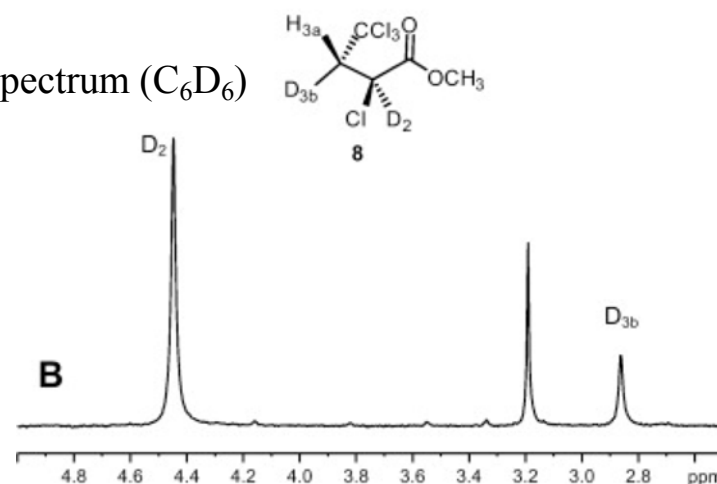
化学シフト基準は $\text{Si}(\text{CD}_3)_4 = 0$

例:部分重水素化された化合物8のスペクトル

^1H NMR spectrum (C_6D_6)



^2H NMR spectrum (C_6D_6)



J. Mol. Cat. B: Enzymatic 2011, 73, 17.

応用例: styrene- d_8 の MeReO_3 を用いた
 触媒的ジヒドロキシ化反応速度測定

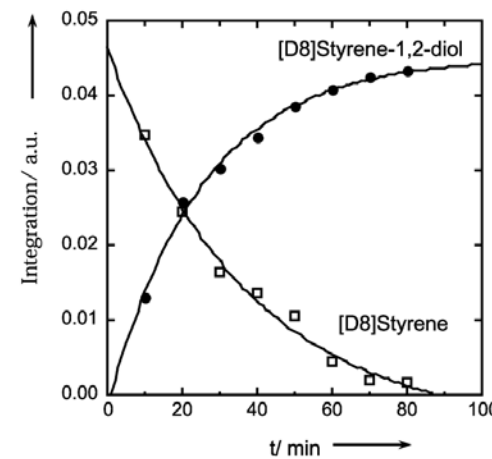
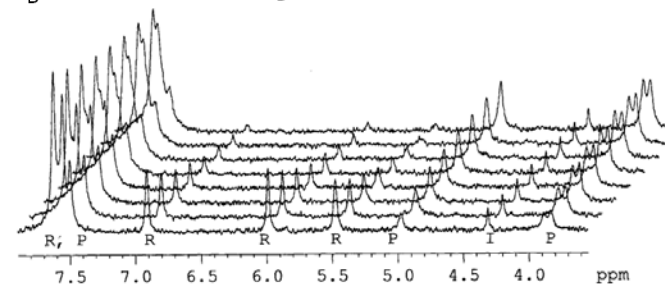
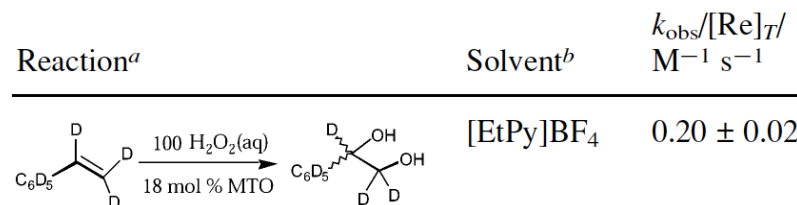


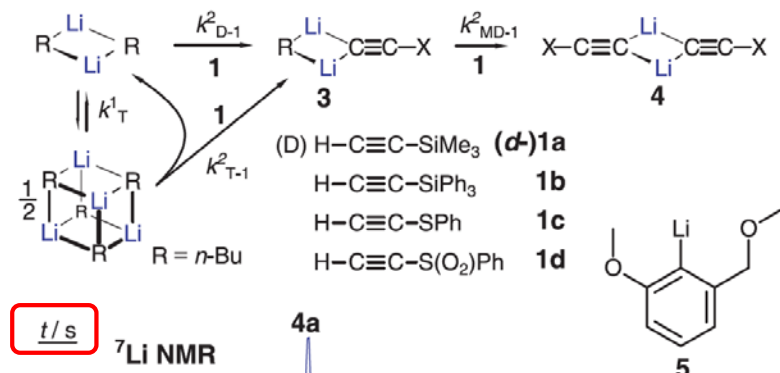
Fig. 1 $[\text{D}_8]\text{Styrene dihydroxylation}, 0.5 \text{ M H}_2\text{O}_2$.
 Chem. Commun. 2002, 66.

多核NMR各論： ^7Li , ^6Li NMRスペクトル

^7Li , 核スピン $I = 3/2$, 天然存在比92.6%, 磁気回転比 $\gamma = 10.396$
四極子モーメント $= -4 \times 10^{-2}$, 相対総合感度 $= 1.54 \times 10^3$

^6Li , 核スピン $I = 1$, 天然存在比7.4%, 磁気回転比 $\gamma = 3.937$
四極子モーメント $= -8 \times 10^{-4}$, 相対総合感度 $= 3.58$

^7Li 応用例: Me_3Si アセチレンの脱プロトン化を
RI(rapid injection)NMR法で迅速モニター

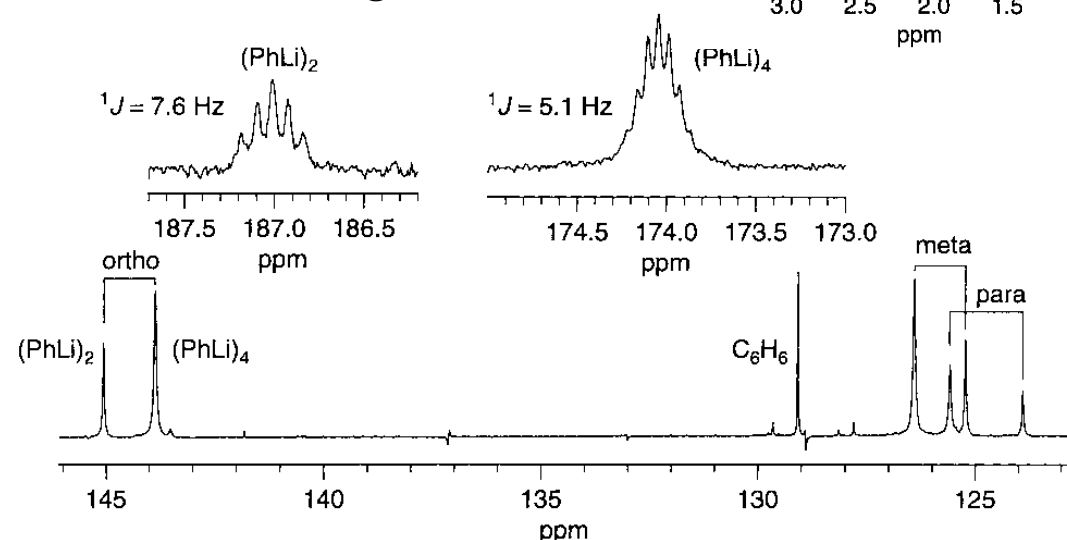


化学シフト基準は $\text{LiCl}/\text{D}_2\text{O} = 0$
範囲は約-10~5 ppm

^6Li 応用例: $(\text{Ph}^6\text{Li})_2$ と $(\text{Ph}^6\text{Li})_4$ の
平衡を Et_2O 溶媒中低温の ^6Li および
 ^{13}C NMRスペクトルで観測



Prof. Hans J. Reich@U Wisconsin



J. Am. Chem. Soc. 2007, 129, 3492.

J. Am. Chem. Soc. 1998, 120, 7201.

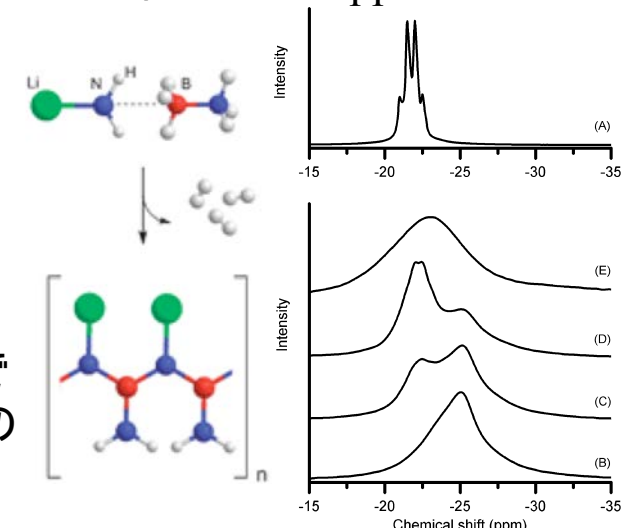
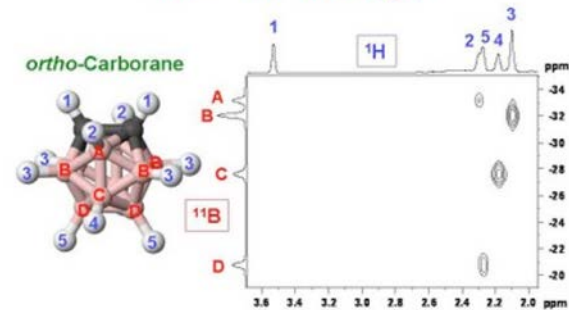
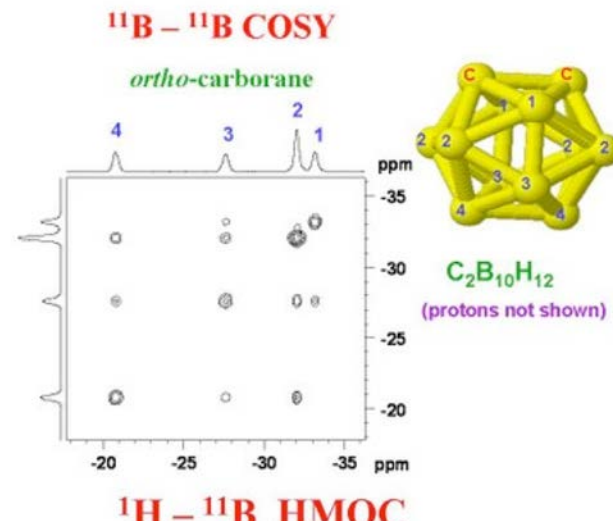
多核NMR各論: ^{11}B NMRスペクトル

^{11}B , 核スピン $I = 3/2$, 天然存在比80.42%, 磁気回転比 $\gamma = 8.5847$
四極子モーメント $= 4.1 \times 10^{-2}$, 相対総合感度 $= 7.52 \times 10^2$

化学シフト基準は $\text{BF}_3 \cdot \text{OEt}_2 = 0$
範囲は約-120~90 ppm

例: BBr_3 : 38.5 ppm, $\text{BBr}_3 \cdot \text{pyridine}$: -7.1 ppm
他の核とのカップリングは3配位>4配位

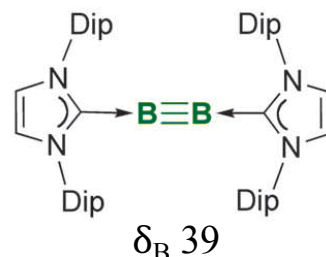
ホウ素クラスターでは二次元 ^{11}B NMRが有用



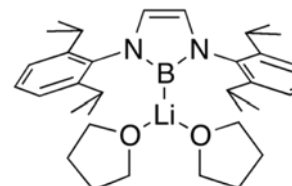
Energy Environ. Sci. 2009, 2, 706.

固体 ^{11}B NMRで
水素吸蔵合金の
反応を追跡

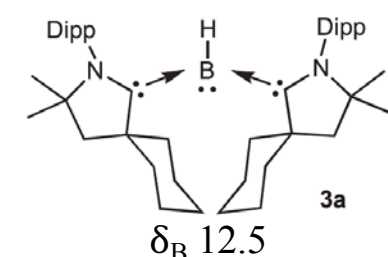
特殊な環境の ^{11}B 核を含む化合物



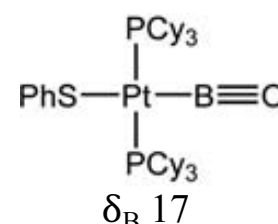
Science 2012, 336, 1420.



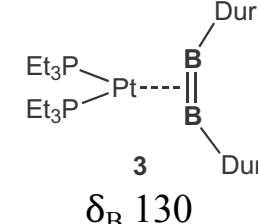
Science 2006, 314, 113.



Science 2011, 333, 610.



Science 2010, 328, 345.

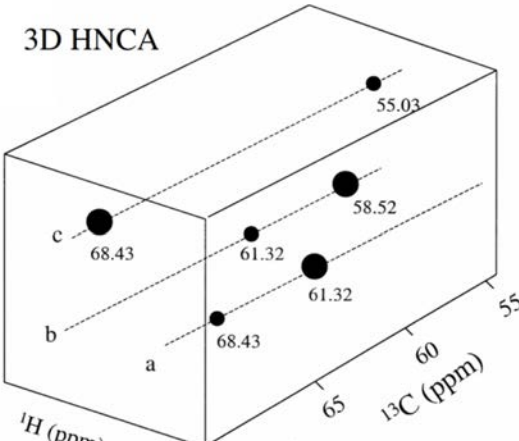
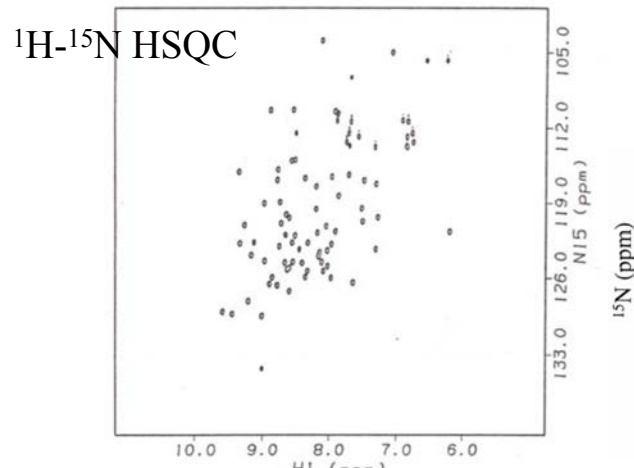
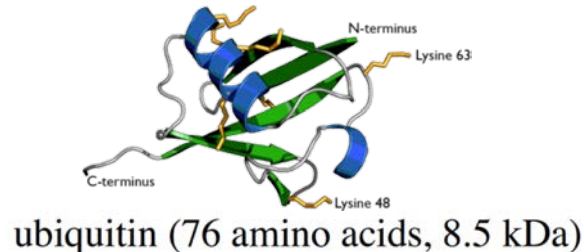


Nat. Chem. 2013, 5, 115.

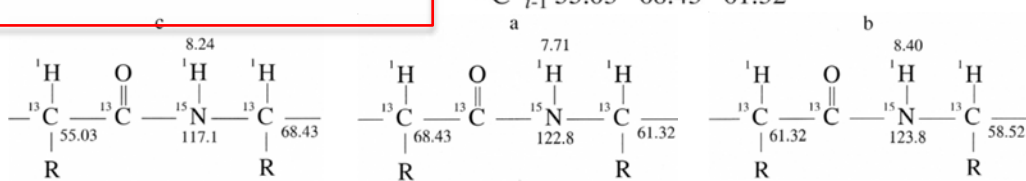
多核NMR各論 : ^{15}N NMRスペクトル

^{15}N , 核スピン $I = -1/2$, 天然存在比 0.37%, 磁気回転比 $\gamma = -2.716$
四極子モーメント = なし, 相対総合感度 = 2.19×10^{-2}

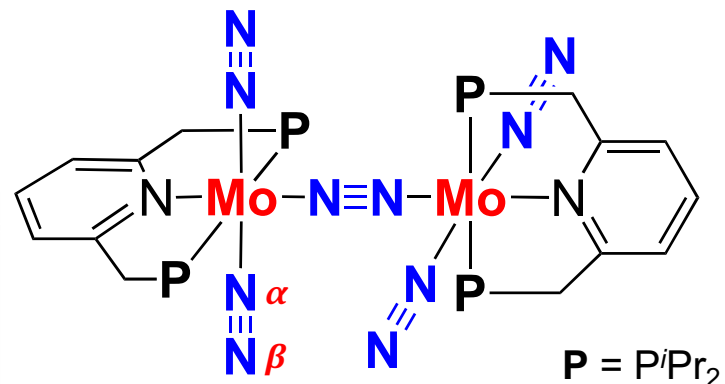
化学シフト基準は $\text{CH}_3\text{NO}_2 = 0$
範囲は約 -600~600 ppm



c	8.24
$^1\text{H}^N_i$	7.71
$^{15}\text{N}_i$	122.8
$^{13}\text{C}^\alpha_i$	61.32
$^{13}\text{C}^\alpha_{i-1}$	58.52



最近の応用例: 窒素分子錯体の同定



- $\delta_N = 29.0$
(dt, $^1J_{NN}$ & $^2J_{PN} = 6.1$ & 2.4 Hz, terminal $\text{N}\alpha$)
 $\delta_N = 16.5$
(d, $^1J_{NN} = 6.1$ Hz, terminal $\text{N}\beta$)
 $\delta_N = 8.5$
(s, bridging N)

Nat. Chem. 2011, 3, 120.

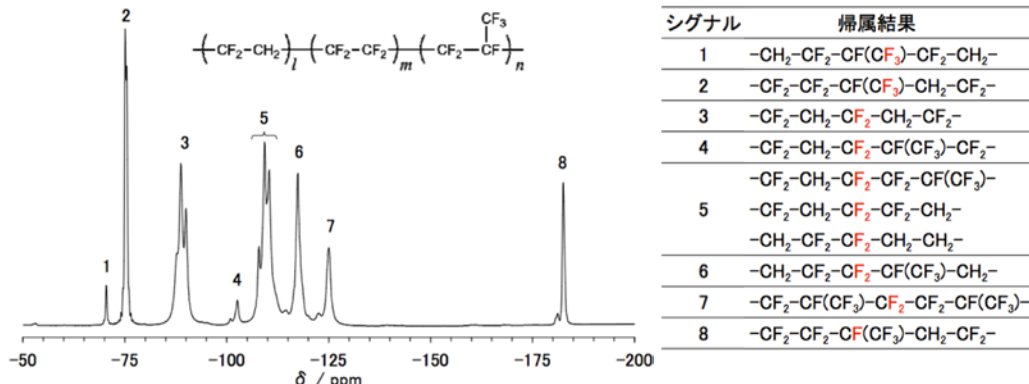
多核NMR各論 : ^{19}F NMRスペクトル

^{19}N , 核スピン $I = 1/2$, 天然存在比 100%, 磁気回転比 $\gamma = 25.1815$
四極子モーメント = なし, 相対総合感度 = 4.73×10^3

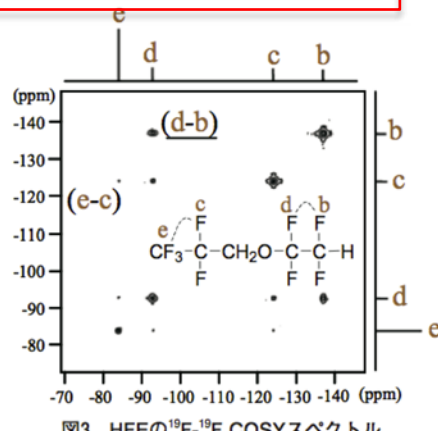
化学シフト基準は $\text{CFCl}_3 = 0$
範囲は約 -300~900 ppm

使用例: 含フッ素ポリマーの構造解析

<http://www.cerij.or.jp/>

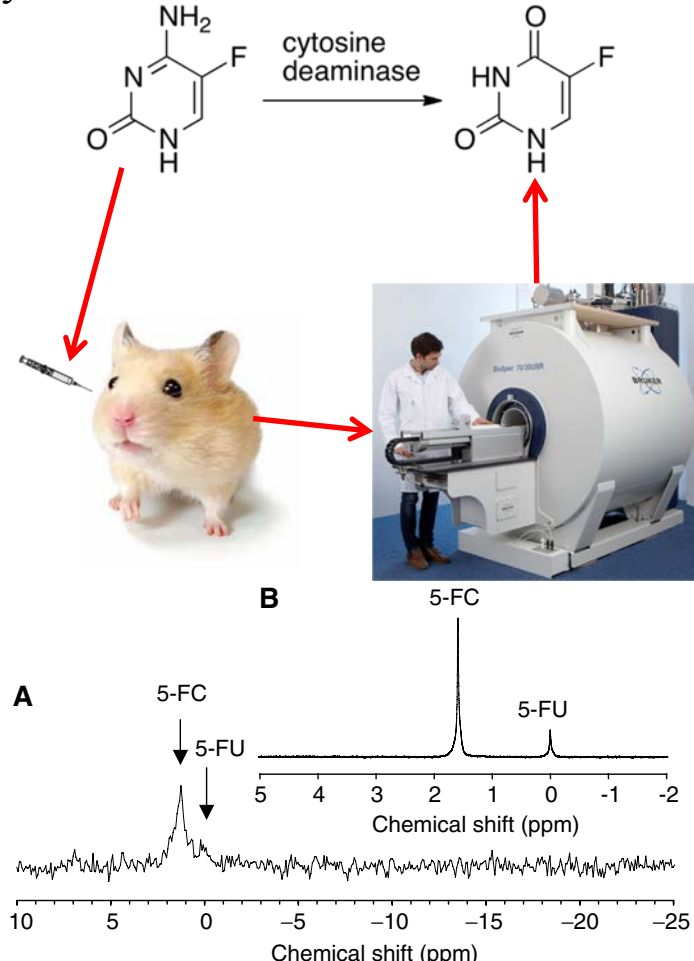


二次元 ^{19}F NMR:



http://www.toray-research.co.jp/new_bunseki/index.html

最近の応用例: ネズミの腫瘍に F -cytosineを注射、そのまま F -uracilを検出



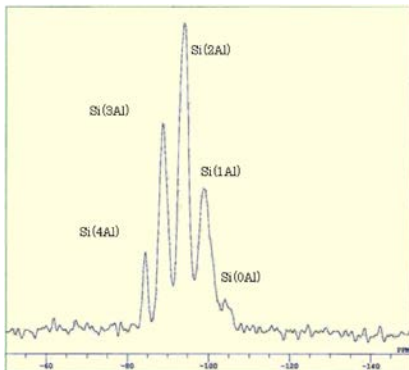
Brit. J. Cancer 2004, 89, 1796.

多核NMR各論: ^{29}Si NMRスペクトル

^{29}Si , 核スピン $I = -1/2$, 天然存在比 4.7%, 磁気回転比 $\gamma = -5.3190$
 四極子モーメント = なし, 相対総合感度 = 4.95×10^{-1}

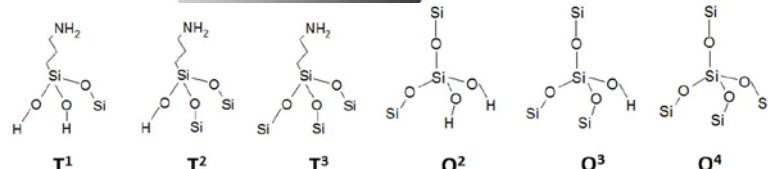
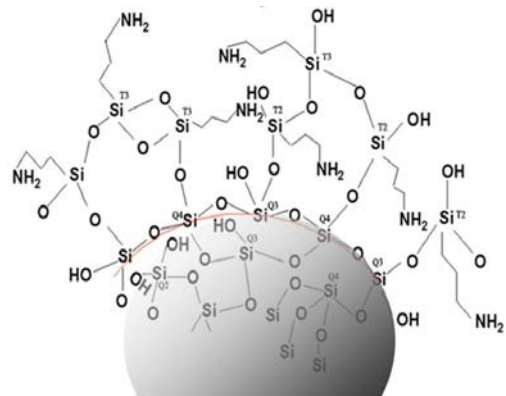
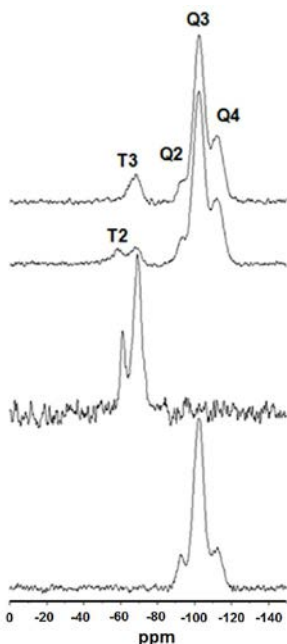
化学シフト基準は $\text{SiMe}_4 = 0$
 範囲は約 -200~100 ppm

使用例: 固体 ^{29}Si NMRによる
 Al_2Si 含有ゼオライトの分析



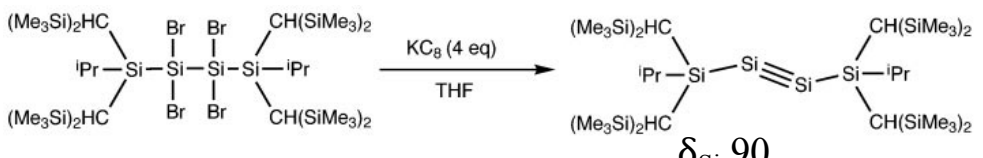
http://www.ube-ind.co.jp/usal/documents/o224_145.htm

使用例: ビーズ表面に形成した
 シロキサンの状態分析

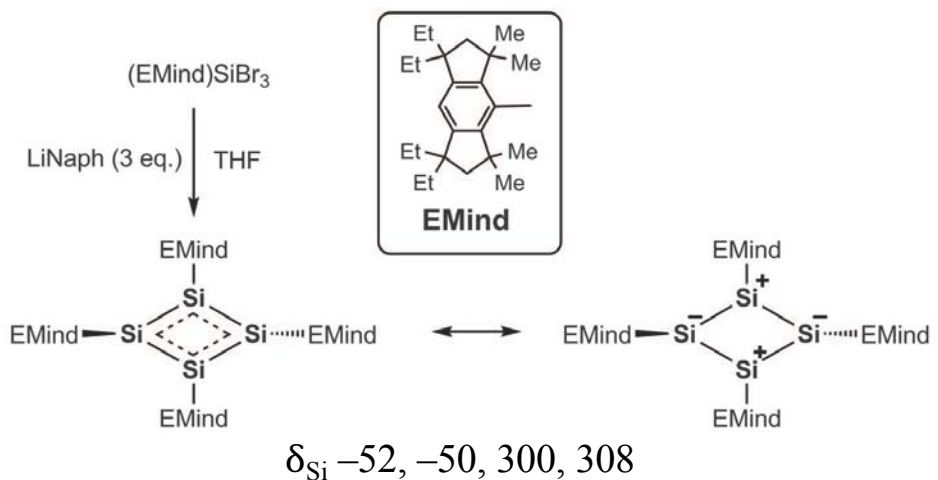


Sci. Rep. 2012, 2, 564.

最近の例: 特殊な環境の ^{29}Si 核を含む化合物



Science 2004, 305, 1755.



$\delta_{\text{Si}} = -52, -50, 300, 308$

Science 2011, 331, 1306.

多核NMR各論・ ^{31}P NMRスペクトル

^{31}P , 核スピン $I = 1/2$, 天然存在比100%, 磁気回転比 $\gamma = 10.8394$
四極子モーメント=なし, 相対総合感度 = 1.44×10^2

化学シフト基準は85% $\text{H}_3\text{PO}_4 = 0$
範囲は約-400~600 ppm

利用例:

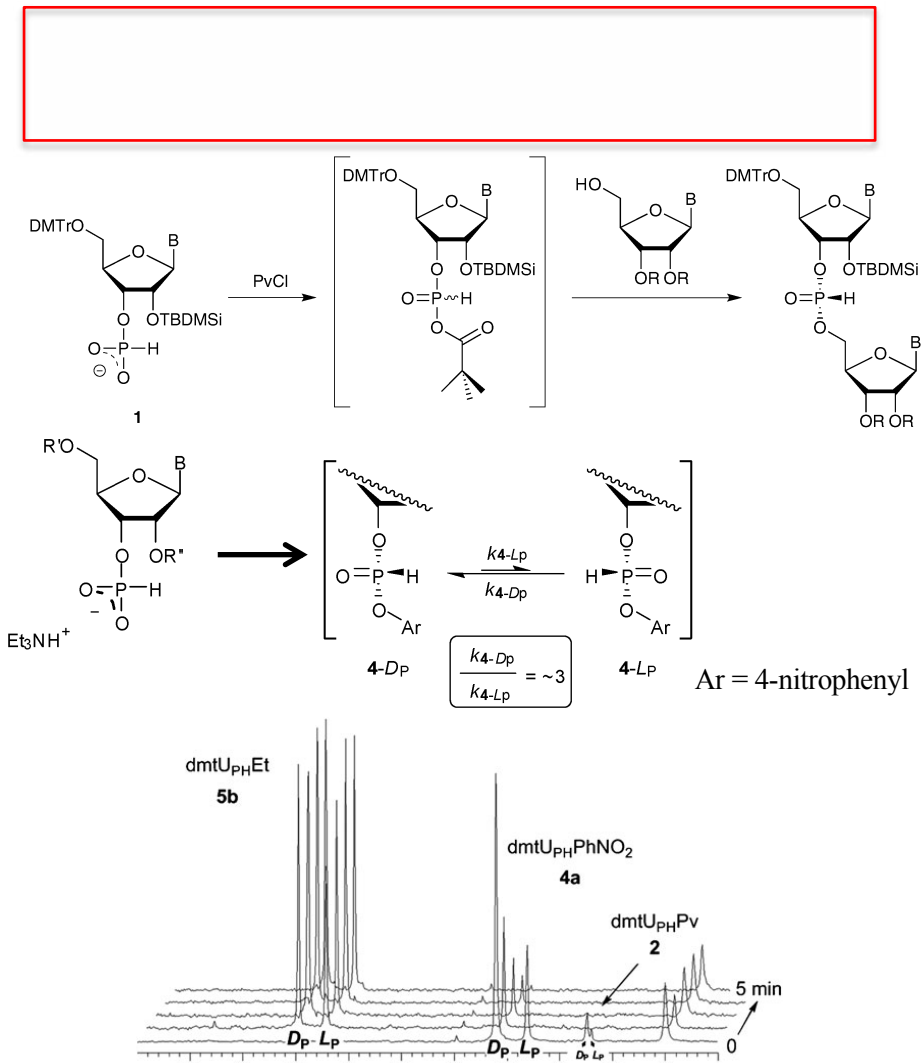
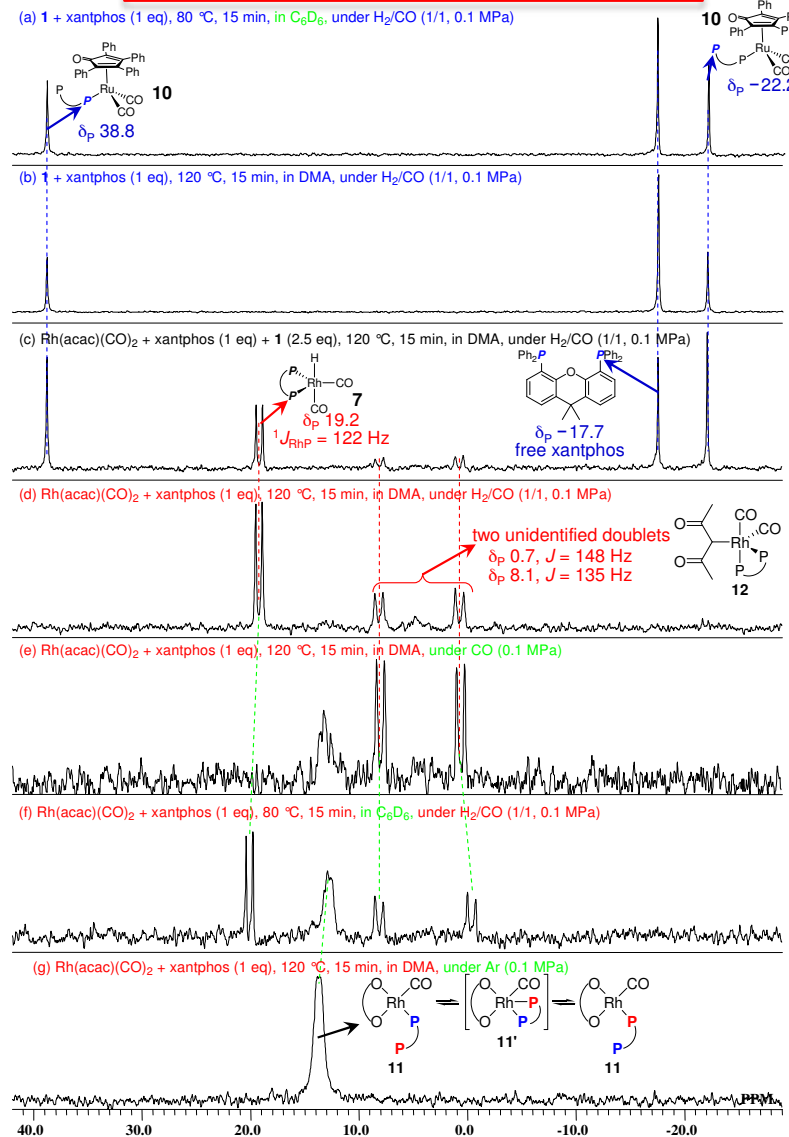


Fig. 4 ^{31}P NMR traces for the time course of transesterification of *p*-nitrophenyl uridine *H*-phosphonate **4a** with EtOH (5 equiv.). Note the immediate consumption of *L*-**4a** in the first minute of the reaction.